

Φυσική των αστέρων

Μάθημα 17

Λευκοί νάνοι – η φυσική της
εκφυλισμένης ύλης

Carroll & Ostlie Κεφ. 11.1-11.5 (16.1-16.5 στην
αγγλική έκδοση)

α.ε. 2023-24

Εισαγωγή

- Σείριος A και Σείριος B – διπλό σύστημα άστρων. Η ύπαρξη του συνοδού Σείριου B διαπιστώθηκε πρωτα από την επίδραση στην ίδια κίνηση του Σείριου A.
- Από τη διαταραχή στη κίνηση, προκύπτει ότι η μάζα του συνοδού είναι της τάξης $1M_{\odot}$.
- Αργότερα μετρήθηκε η φωτεινότητα του σε $0.01L_{\odot}$, ενώ από το φάσμα εκτιμήθηκε η θερμοκρασία του σε $30000K$.
- Τι είδους αντικείμενο μπορεί να είναι αυτό;

Μερικοί χοντρικοί υπολογισμοί:

$$\text{Σχέση ακτίνων: } \frac{L_A}{L_B} = \left(\frac{T_A}{T_B}\right)^4 \cdot \left(\frac{R_A}{R_B}\right)^2 \Rightarrow \frac{23,5}{0,03} = \left(\frac{1}{3}\right)^4 \left(\frac{R_A}{R_B}\right)^2 \Rightarrow R_B = 0,004R_A$$

$$\text{Ακτίνα του Σείριου B: } R_B = [L_B/(4\pi\sigma T_{\text{eff},B}^4)]^{1/2} = 0.008 R_{\odot}$$

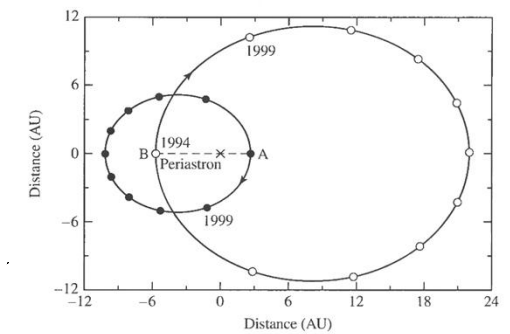
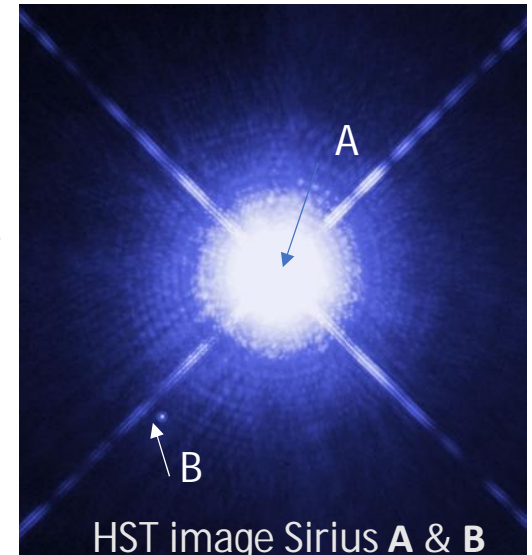
$$\text{Μέση πυκνότητα του Σείριου B: } \bar{\rho}_B = \frac{M_B}{\frac{4\pi}{3}R_B^3} = \frac{1M_{\odot}}{\frac{4\pi}{3}(0,008R_{\odot})^3} \cong 3 \times 10^9 \text{ kg/m}^3$$

(η μέση πυκνότητα του Ήλιου είναι $\cong 1.4 \times 10^3 \text{ kg/m}^3$)

Κεντρική πίεση Σείριου B:

$$\left. \begin{aligned} \frac{dP}{dr} &= \frac{-GM(r)\rho(r)}{r^2} \\ M(r) &= \frac{4\pi}{3}r^3\rho \\ \rho &\cong \bar{\rho} \end{aligned} \right\} \Rightarrow \int_{P_c}^0 dP = -\frac{4\pi G}{3}\bar{\rho}^2 \int_0^R r dr \Rightarrow P_c = \frac{2\pi G}{3}\bar{\rho}^2 R^2 \cong 3.8 \times 10^{22} \text{ N/m}^2$$

που είναι περίπου 1.5×10^6 φορές μεγαλύτερη από την πίεση στο κέντρο του ήλιου



	Σείριος A	Σείριος B
Μάζα (M_{\odot})	2.3	1
Φωτεινότητα (L_{\odot})	23.5	0.03
Θερμοκρασία (K)	10000	30000

Κεντρική Θερμοκρασία Σείριου Β:

Υποθέτοντας ότι έχουμε ένα άστρο σαν τον ήλιο, θα είχαμε

$\frac{dT}{dr} = -\frac{3}{4ac} \frac{\bar{\kappa}\rho}{T^3} \frac{L_r}{4\pi r^2}$ (υποθέσαμε ότι η μεταφορά ενέργειας γίνεται με ακτινοβολία, κάτι που δεν ισχύει στη πραγματικότητα στο εσωτερικό ενός λευκού νάνου, όπως θα δούμε)

οπότε προσεγγιστικά θα έχουμε:

$$\frac{T_B - T_C}{R_B - 0} \cong -\frac{3}{4ac} \frac{\bar{\kappa}\rho}{T_C^3} \frac{L_B}{4\pi R_B^2} \Rightarrow T_C \sim 7.6 \times 10^7 \text{ K}$$

με $\bar{\kappa} \sim 0.02 \text{ m}^2 \text{ kg}^{-1}$ (αδιαφάνεια λόγω σκέδασης ηλεκτρονίων)

Αν ο Σείριος Β αποτελούνταν κυρίως από Η όπως ο ήλιος, θα έπρεπε σε αυτή τη θερμοκρασία να έχει σημαντική παραγωγή ισχύος από θερμοπυρηνικές αντιδράσεις, οπότε θα έπρεπε να έχει πολύ μεγαλύτερη φωτεινότητα.

Προφανώς, πρόκειται για ένα αντικείμενο διαφορετικό από ένα συνηθισμένο άστρο, και ονομάζεται λευκός νάνος (white dwarf).

Τι ξέρουμε σήμερα για τις βασικές παραμέτρους των λευκών νάνων :

Μάζες $\sim 1 M_\odot$ (~ 0.17 - $\sim 1.35 M_\odot$ (Richer et al. 2021, Nature), με την κορυφή της κατανομής στα $0.56 M_\odot$)

Ακτίνες $\sim 1 R_{\text{earth}}$

Αποτελούνται από ένα εκφυλισμένο πυρήνα (συνήθως C-O) που περιβάλλεται από μία μικρή ατμόσφαιρα Η ή He (ή τίποτε).

Η θέση των Λ.Ν. στο διάγραμμα HR

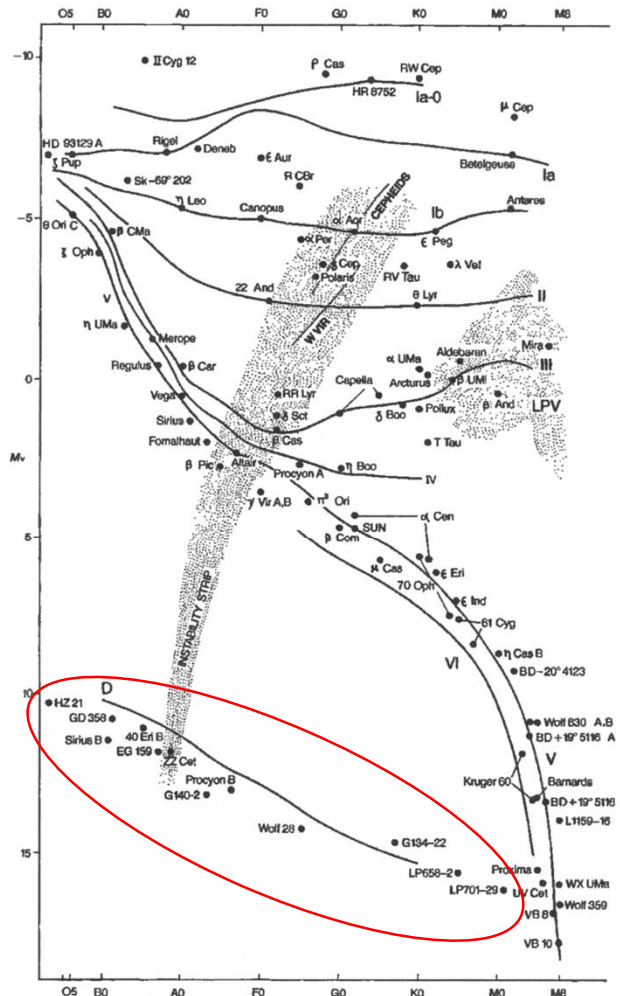
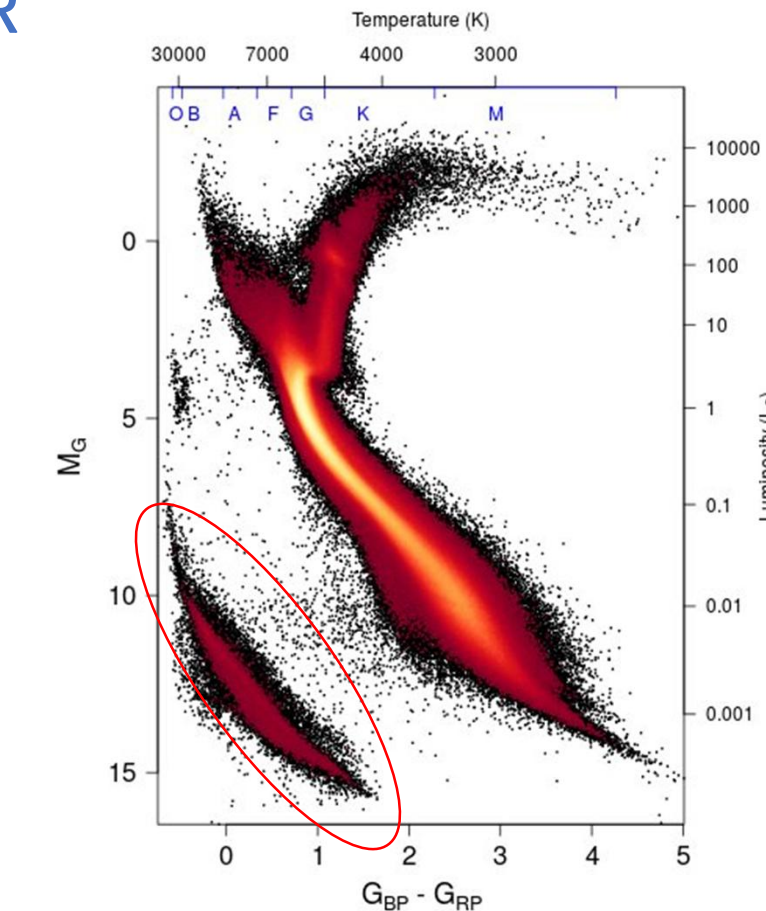


FIGURE 8.16 Luminosity classes on the H-R diagram. (Figure from Kaler, *Stars and Stellar Spectra*, © Cambridge University Press 1989. Reprinted with the permission of Cambridge University Press.)

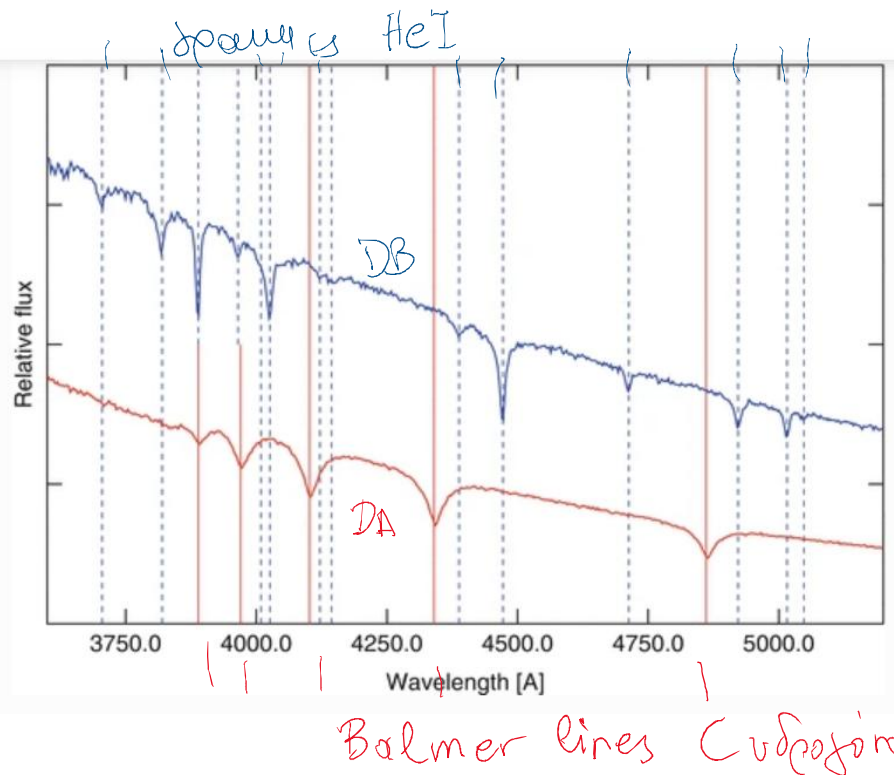


Gaia DR3 HR Diagram of low extinction and accurate parallax sources (in the Galaxy)

Ενεργές θερμοκρασίες από $\sim 80000\text{K}$ έως $\sim 5000\text{K}$

Φασματική ταξινόμηση Λευκών νάνων

Κύριοι φασματικοί τύποι: DA (γραμμές H), DB (γραμμές He), DC (χωρίς γραμμές).



Spectral Type	Characteristics	
DA	Only Balmer lines; no He I or metals present	~67%
DB	He I lines; no H or metals present	~8%
DC	Continuous spectrum, no lines deeper than 5% in any part of the electromagnetic spectrum	
DO	He II strong; He I or H present	
DZ	Metal lines only; no H or He lines	
DQ	Carbon features, either atomic or molecular in any part of the electromagnetic spectrum	
P (suffix)	Magnetic white dwarfs with detectable polarization	
H (suffix)	Magnetic white dwarfs without detectable polarization	
X (suffix)	Peculiar or unclassifiable spectrum	
E (suffix)	Emission lines are present	
? (suffix)	Uncertain assigned classification; a colon (:) may also be used	

Η κατανομή μαζών των λευκών νάνων

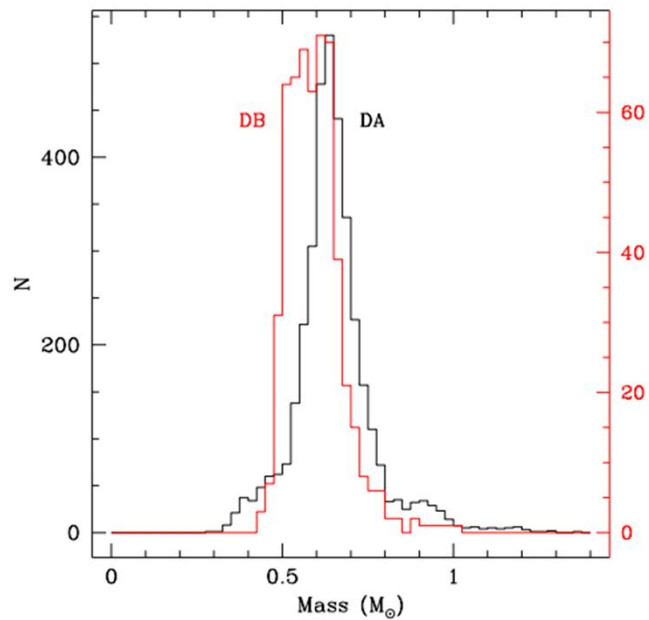


Figure 1. Mass distribution by number for 3636 DAs with $T_{\text{eff}} \geq 13000$ K, $S/N_g \geq 15$ and $\langle S/N \rangle = 31$ in black and 549 DBs with $T_{\text{eff}} \geq 16000$ K, $S/N_g \geq 10$ and $\langle S/N \rangle = 21$ in red.

Kepler et al. 2016

Παλλόμενοι Λ.Ν.

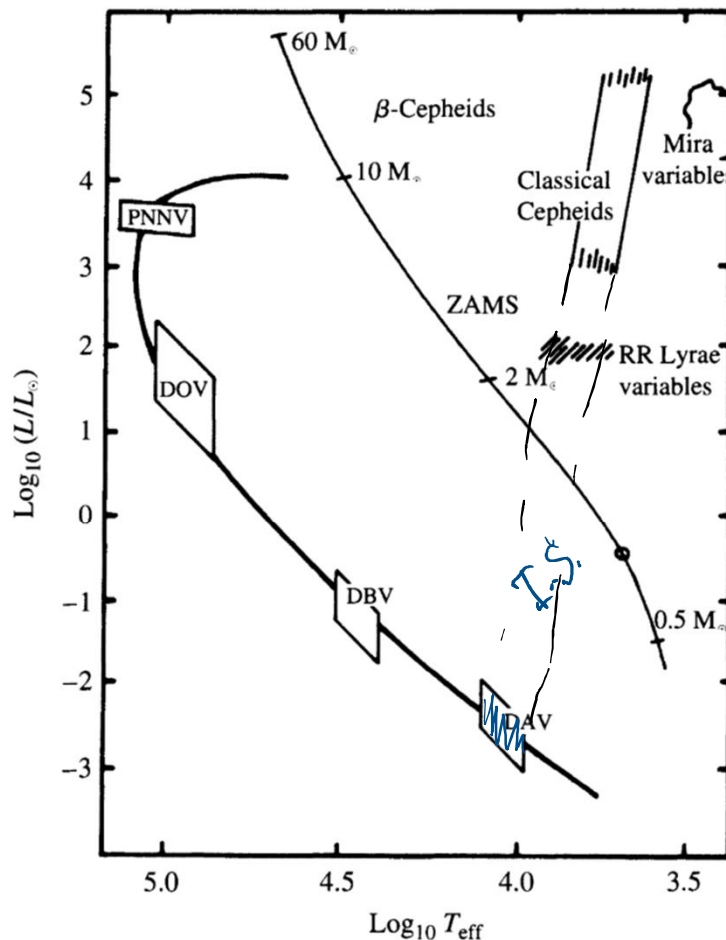


FIGURE 16.4 Compact pulsators on the H-R diagram. (Figure adapted from Winget, *Advances in Helio- and Asteroseismology*, Christensen-Dalsgaard and Frandsen (eds.), Reidel, Dordrecht, 1988.)

- Λευκοί νάνοι με επιφανειακές θερμοκρασίες $T_e \approx 12,000\text{K}$ κείνται στη ζώνη αστάθειας που συζητήσαμε στο προηγούμενο μάθημα. [DAV or ZZ Ceti variables](#)
- Πρόκειται για μη ακτινικές αναπάλσεις (δεν μεταβάλλεται η ακτίνα αλλά η επιφανειακή θερμοκρασία) που συντονίζονται μεταξύ των ζωνών ηλίου και υδρογόνου και οφείλονται στη ζώνη μερικού ιονισμού υδρογόνου
- Σε θερμότερους Λ.Ν. ανάλογα φαινόμενα εμφανίζονται λόγω μερικού ιονισμού του He → [DBV](#) ($T_e \approx 27,000\text{K}$).
- [PNNV](#) ($T_e \approx 100,000\text{K}$) – Planetary Nebulae Nuclei
- [POV](#) στο ξεκίνημα της φάσης του Λ.Ν.

Η φυσική εκφυλισμένης ύλης – πολύ σύντομα

(Για λεπτομέρειες δείτε μάθημα στατιστικής φυσικής)

Απαγορευτική αρχή του Pauli: το πολύ ένα φερμιόνιο σε κάθε κβαντική κατάσταση (δηλ. με το ίδιο σετ κβαντικών αριθμών).

Σε συνήθη πίεση και θερμοκρασία μόνο $1:10^7$ κβαντικές καταστάσεις είναι κατειλημμένες \rightarrow θερμική πίεση που περιγράφεται από το νόμο ιδανικού αερίου.

Καθώς η θερμοκρασία μειώνεται και τείνει στο 0, καταλαμβάνονται όλες οι διαθέσιμες κατώτερες ενεργειακές στάθμες \rightarrow πλήρως εκφυλισμένο φερμιονικό αέριο.

Η ενέργεια Fermi είναι η μέγιστη ενέργεια ενός ηλεκτρονίου (ϵ_F) σε ένα πλήρως εκφυλισμένο αέριο στους 0 K.

Ας θεωρήσουμε ένα κύβο ακμής L. Μπορούμε να θεωρήσουμε τα ηλεκτρόνια μέσα στον κύβο σαν στάσιμα κύματα, με μήκη κύματος που δίνονται από τις σχέσεις

$$\lambda_x = \frac{2L}{N_x}, \lambda_y = \frac{2L}{N_y}, \lambda_z = \frac{2L}{N_z}, \text{ όπου } N_x, N_y, N_z, \text{ ακέραιοι αριθμοί.}$$

$$\text{Οι αντίστοιχες συνιστώσες της ορμής } (\lambda = h/p) \text{ είναι } p_x = \frac{hN_x}{2L}, p_y = \frac{hN_y}{2L}, p_z = \frac{hN_z}{2L}$$

$$\text{Η συνολική ενέργεια ενός φερμιονίου στο κουτί είναι } \varepsilon = \frac{p^2}{2m}, \text{ όπου } p^2 = p_x^2 + p_y^2 + p_z^2$$

$$\text{οπότε } = \frac{h^2}{8mL^2} (N_x^2 + N_y^2 + N_z^2) = \frac{h^2 N^2}{8mL^2} \text{ (όπου ορίσαμε } N^2 \equiv N_x^2 + N_y^2 + N_z^2)$$

Ο συνολικός αριθμός των ηλεκτρονίων, N_e στο αέριο αντιστοιχεί στον συνολικό αριθμό των ξεχωριστών κβαντικών αριθμών N_x, N_y, N_z επί δύο.

Ο παράγοντας δύο προκύπτει από το γεγονός ότι τα ηλεκτρόνια είναι σωματίδια με σπιν $\frac{1}{2}$ με $m_s = \pm \frac{1}{2}$.

Άρα, $N_e = 2 \left(\frac{1}{8} \right) \left(\frac{4}{3} \pi N^3 \right)$ (1/8 για να διατηρήσουμε μόνο το τεταρτημόριο που έχει θετικούς αριθμούς N_x, N_y, N_z)

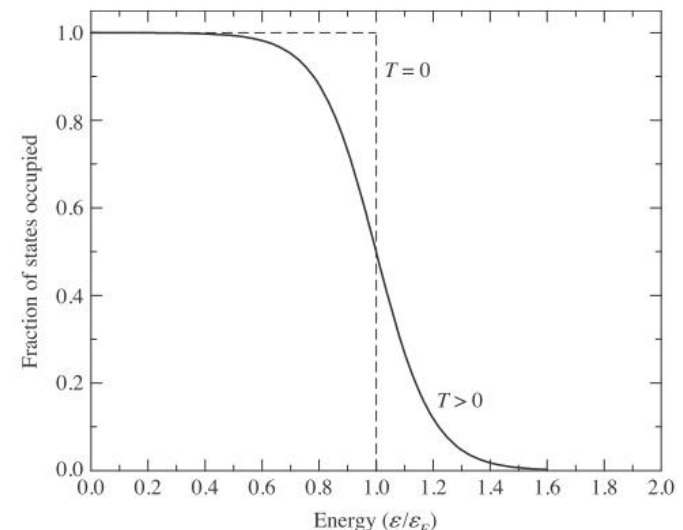
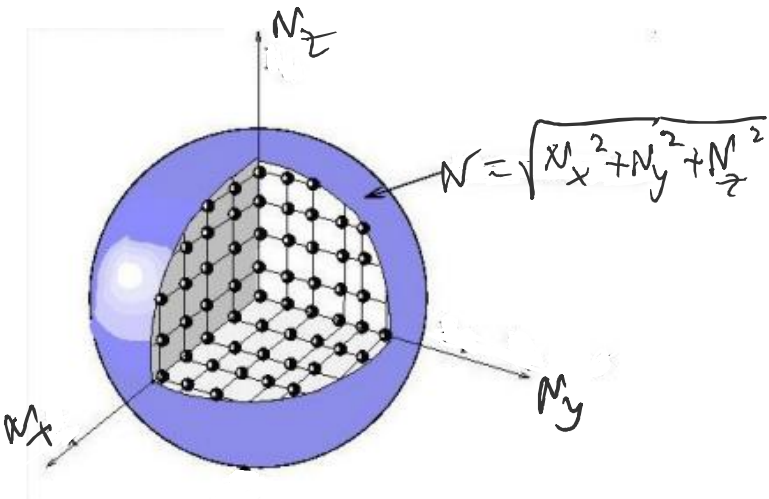
$$\Rightarrow N = \left(\frac{3N_e}{\pi} \right)^{1/3}$$

και αντικαθιστώντας στον τύπο για την ενέργεια, βρίσκουμε

$$\varepsilon_F = \frac{\hbar^2 N^2}{8mL^2} = \frac{\hbar^2}{2m} (3\pi^2 n)^{2/3},$$

όπου $n \equiv \frac{N_e}{L^3}$ η αριθμητική πυκνότητα των ηλεκτρονίων.

Όσο μεγαλύτερη είναι η πυκνότητα τόσο μεγαλύτερη η ενέργεια Fermi.



Συνθήκη για εκφυλισμό

Για $T > 0$ θα υπάρχουν κάποιες καταστάσεις με ενέργειες $< \varepsilon_F$ που θα εκκενωθούν, καθώς τα ηλεκτρόνια -χάρη στη θερμική τους ενέργεια- καταλαμβάνουν στάθμες μεγαλύτερης ενέργειας.

Αν και για $T > 0$ δεν έχουμε πλήρη εκφυλισμό, η υπόθεση του πλήρους εκφυλισμού είναι αρκετά ακριβής για τις υψηλές πυκνότητες που απαντώνται στο εσωτερικό των λευκών νάνων.

$$\text{Είδαμε ότι } \varepsilon_F = \frac{\hbar^2}{2m} (3\pi^2 n_e)^{2/3}, \text{ αλλά, } n_e = \frac{\text{αρ.ηλεκτρ}}{\text{πυρηνα}} \frac{\text{αρ.πυρηνων}}{\text{όγκο}} = \left(\frac{Z}{A}\right) \frac{\rho}{m_H}$$

$$\text{οπότε } \varepsilon_F = \frac{\hbar^2}{2m_e} \left[3\pi^2 \left(\frac{Z}{A}\right) \frac{\rho}{m_H} \right]^{2/3}$$

Τώρα θα συγκρίνουμε την ενέργεια Fermi με τη μέση θερμική ενέργεια ενός e, $\frac{3}{2}kT$

Χοντρικά, αν $\frac{3}{2}kT < \varepsilon_F$ το «μέσο» ηλεκτρόνιο δεν θα μπορεί να μεταβεί σε μία μη κατειλημμένη κατάσταση, οπότε το αέριο είναι εκφυλισμένο, δηλ. $\frac{3}{2}kT < \frac{\hbar^2}{2m_e} \left[3\pi^2 \left(\frac{Z}{A}\right) \frac{\rho}{m_H} \right]^{2/3} \xrightarrow[\frac{Z}{A} \sim 1/2]$

$$\frac{T}{\rho^{2/3}} < \frac{\hbar^2}{3m_e k} \left[\frac{3\pi^2}{m_H} \left(\frac{Z}{A}\right) \right]^{2/3} = D = 1261 \text{Km}^2 \text{kg}^{-2/3} \text{ συνθήκη εκφυλισμού}$$

Όσο μικρότερο το $\frac{T}{\rho^{2/3}}$ τόσο πιο εκφυλισμένο είναι το αέριο.

Παράδειγμα:

➤ Ήλιος: $T_c = 1.570 \times 10^7 \text{K}$, $\rho_c = 1.527 \times 10^5 \text{kgm}^{-3} \Rightarrow \frac{T_c}{\rho_c^{2/3}} = 5500 \text{Km}^2 \text{kg}^{-2/3} > 1261 \text{Km}^2 \text{kg}^{-2/3}$ μη εκφυλισμένο

➤ Σείριος B: $T_c = 7.6 \times 10^7 \text{K}$, $\rho_c = 3 \times 10^9 \text{kgm}^{-3} \Rightarrow \frac{T_c}{\rho_c^{2/3}} \sim 37 \text{Km}^2 \text{kg}^{-2/3} \ll 1261 \text{Km}^2 \text{kg}^{-2/3}$ εκφυλισμένο

Πίεση εκφυλισμού

Πίεση αερίου (από στατ. φυσική/ θερμοδυναμική)

$P = \frac{1}{3} \int_0^\infty n_p p v dp \approx \frac{1}{3} n_e p v$ (όπου υποθέσαμε ότι όλα τα σωματίδια έχουν την ίδια ορμή, και n_e είναι η συνολική αριθμητική πυκνότητα των ε).

Κατά προσέγγιση, η μέση απόσταση μεταξύ δύο ηλεκτρονίων θα είναι $\Delta x \approx n_e^{-1/3}$ (όμοια για τα Δy και Δz). Από την αρχή απροσδιοριστίας,

$$p_x \approx \Delta p_x \approx \frac{\hbar}{\Delta x} \approx \hbar n_e^{1/3} \quad (\text{όμοια για τα } p_y \text{ και } p_z).$$

$$p^2 = p_x^2 + p_y^2 + p_z^2 = 3p_x^2 \Rightarrow p = \sqrt{3}p_x = \sqrt{3}\hbar n_e^{1/3} = \sqrt{3}\hbar \left[\left(\frac{Z}{A} \right) \frac{\rho}{m_H} \right]^{1/3}$$

Μη σχετικιστικά ηλεκτρόνια

$$v = \frac{p}{m_e} = \frac{\sqrt{3}\hbar}{m_e} \left[\left(\frac{Z}{A} \right) \frac{\rho}{m_H} \right]^{1/3}$$

$$\text{Άρα } P \approx \frac{1}{3} n_e p v \approx \frac{1}{3} \left[\left(\frac{Z}{A} \right) \frac{\rho}{m_H} \right] \left[\sqrt{3}\hbar \left[\left(\frac{Z}{A} \right) \frac{\rho}{m_H} \right]^{\frac{1}{3}} \right] \left[\frac{\sqrt{3}\hbar}{m_e} \left[\left(\frac{Z}{A} \right) \frac{\rho}{m_H} \right]^{\frac{1}{3}} \right] \Rightarrow P \propto \rho^{5/3} \quad (\text{πολύτροπο με } n = 1.5)$$

$$\text{Ακριβής υπολογισμός δίνει } P = \frac{(3\pi^2)^{2/3}}{5} \frac{\hbar^2}{m_e} \left[\left(\frac{Z}{A} \right) \frac{\rho}{m_H} \right]^{5/3}$$

$$\text{Σχετικιστικά ηλεκτρόνια } E = (p^2 c^2 + m^2 c^4)^{1/2}, v = \frac{pc^2}{E}, P \propto \int_0^{p_F} \frac{p^2 c^2}{E} 4\pi p^2 dp \Rightarrow P \propto \rho^{4/3}$$

$$(P = \frac{(3\pi^2)^{1/3}}{4} \hbar c \left[\left(\frac{Z}{A} \right) \frac{\rho}{m_H} \right]^{4/3}) \quad (\text{πολύτροπο } n = 3)$$

(p_F η ορμή Fermi) - **Παρατηρείστε ότι δεν υπάρχει εξάρτηση της πίεσης από τη θερμοκρασία!**

Το όριο Chandrasekhar

Ο Chandrasekhar απέδειξε ότι ένας ΛΝ έχει μία μέγιστη δυνατή μάζα, $1.4 M_{\odot}$

Βρήκαμε νωρίτερα ότι κατά προσέγγιση η κεντρική πίεση του ΛΝ είναι $P_c = \frac{2\pi G}{3} \bar{\rho}^2 R^2$ για υδροστατική ισορροπία. Θα εξισώσουμε αυτή τη τιμή με την πίεση εκφυλισμού που υπολογίσαμε. Οπότε προκύπτει:

$$\frac{2}{3}\pi G \rho^2 R_{\text{wd}}^2 = \frac{(3\pi^2)^{2/3}}{5} \frac{\hbar^2}{m_e} \left[\left(\frac{Z}{A} \right) \frac{\rho}{m_H} \right]^{5/3} \Rightarrow R_{\text{wd}} \approx \frac{(18\pi)^{2/3}}{10} \frac{\hbar^2}{G m_e M_{\text{wd}}^{1/3}} \left[\left(\frac{Z}{A} \right) \frac{1}{m_H} \right]^{5/3}, \text{ όπου } \rho \cong \sigma \alpha \theta = M_{\text{wd}} / \left(\frac{4}{3} \pi R_{\text{wd}}^3 \right),$$

οπότε $M_{\text{wd}} R_{\text{wd}}^3 = \text{σταθερα}$ ή ισοδύναμα $M_{\text{wd}} V = \text{σταθερα}$, ή $\rho \propto M_{\text{wd}}^2$

Αυτή η σχέση μάζας πυκνότητας, ή μάζας-όγκου είναι απόρροια του ότι ο ΛΝ υποστηρίζεται από τη πίεση εκφυλισμού. **Αν προσθέσω όλο και περισσότερη μάζα στον ΛΝ, θα καταλήξω σε μηδενικό όγκο!**

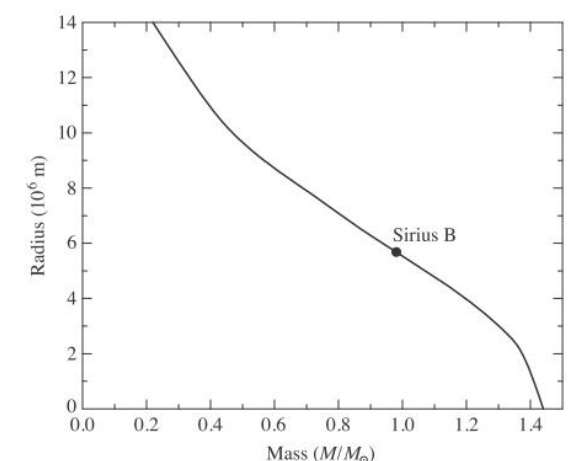
Είδαμε πριν (για μη σχετικιστικά ηλεκτρόνια) ότι $v = \frac{\sqrt{3}\hbar}{m_e} \left[\left(\frac{Z}{A} \right) \frac{\rho}{m_H} \right]^{1/3}$. Αντικαθιστώντας χαρακτηριστικές τιμές (για τον Σείριο B) βρίσκουμε ότι $v \sim 0.3c$. Οπότε πρέπει να χρησιμοποιήσουμε τον τύπο για την πίεση για το σχετικιστικό όριο. Έτσι, βρίσκουμε:

$$\frac{2}{3}\pi G \rho^2 R_{\text{wd}}^2 = \frac{(3\pi^2)^{1/3}}{4} \hbar c \left[\left(\frac{Z}{A} \right) \frac{\rho}{m_H} \right]^{4/3}$$

Θέτοντας πάλι $\rho = M_{\text{wd}} / \left(\frac{4}{3} \pi R_{\text{wd}}^3 \right)$, και $Z/A \sim 0.5$ και λύνοντας ως προς τη μάζα παίρνουμε

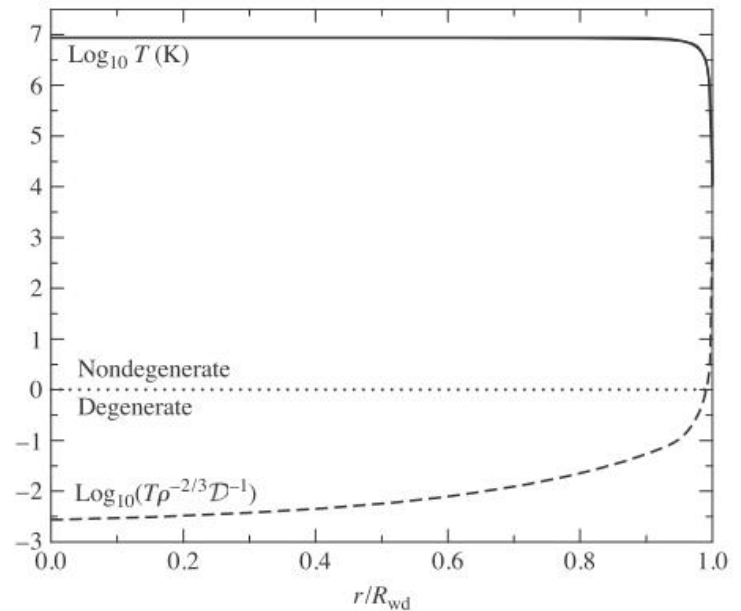
$$M_{\text{Ch}} \sim \frac{3\sqrt{2\pi}}{8} \left(\frac{\hbar c}{G} \right)^{3/2} \left[\left(\frac{Z}{A} \right) \frac{1}{m_H} \right]^2 = 0.44 M_{\odot}$$

Πλήρης υπολογισμός (με ρ μή σταθερό) δίνει όριο $1.44 M_{\odot}$.



Ψύξη ΛΝ

- Πως μεταφέρεται ενέργεια από το εσωτερικό ενός ΛΝ προς τα έξω;
- Σε ένα συνηθισμένο άστρο, τα φωτόνια είναι οι κύριοι μεταφορείς ενέργειας. Στον εκφυλισμένο ΛΝ όμως τα ηλεκτρόνια διανύουν πολύ μεγαλύτερες αποστάσεις πριν αλληλεπιδράσουν με κάποιο πυρήνα και χάσουν ενέργεια, διότι ΔΕΝ υπάρχουν διαθέσιμες χαμηλότερες ενεργειακές στάθμες → διάδοση ενέργειας με αγωγιμότητα ηλεκτρονίων.
- Αυτή η διαδικασία είναι πολύ αποδοτική και ο πυρήνας του ΛΝ είναι ισόθερμος (εκτός από τα επιφανειακά μη εκφυλισμένα στρώματα).
- Εξαιτίας της δημιουργούμενης απότομης βαθμίδας στη θερμοκρασία κοντά στην επιφάνεια, έχουμε διάδοση ενέργειας με μεταφορά (convection).



ευθήκη εκφύλιση
 $T\rho^{-2/3} D^{-1} < 1$
 $\Rightarrow \log(\) < 0$

Χαρακτηριστικός χρόνος ψύξης του ΛΝ:

Η θερμική ενέργεια του ΛΝ οφείλεται κυρίως στη κινητική ενέργεια των πυρήνων (λόγω εκφυλισμού των ηλεκτρονίων).

Οπότε η θερμική ενέργεια θα είναι $U =$

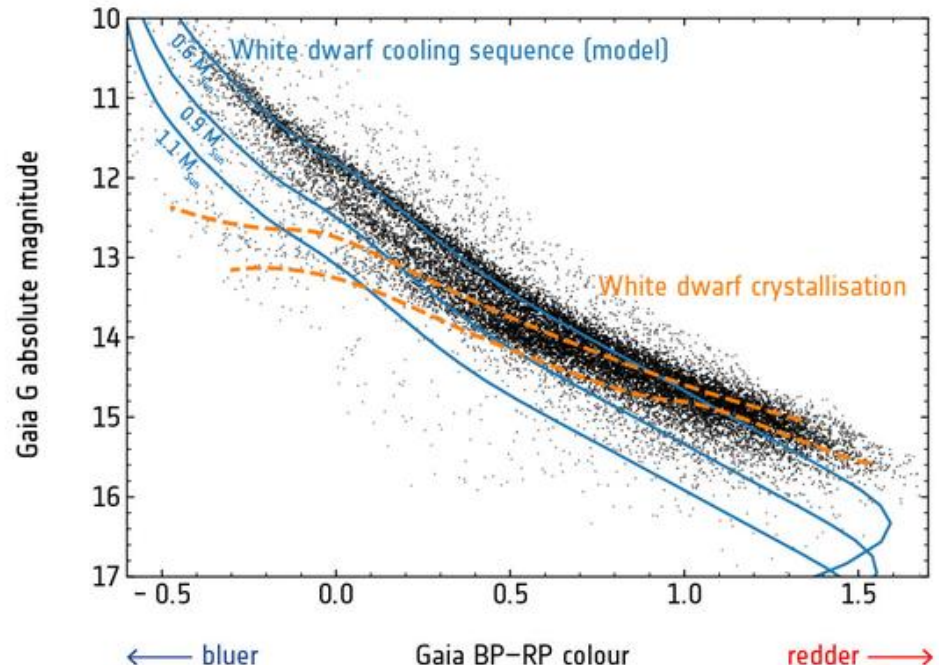
$$\frac{M_{wd}}{Am_H} \frac{3}{2} k T_c$$

Για $A=12$ (για άνθρακα) μια τυπική τιμή της θερμικής ενέργειας είναι $U \sim 6 \times 10^{40} J$

και για $L_{wd} \sim 0.02 L_\odot$

$$\tau_{cool} = \frac{U}{L_{wd}} \sim \frac{6 \times 10^{40} J}{0.02 \times 3.828 \times 10^{26} W} \sim 2.5 \times 10^8 y$$

Κρυστάλλωση: με την κρυστάλλωση ελαχιστοποιείται η ενέργεια των πυρήνων \rightarrow αλλαγή φάσης \rightarrow απελευθέρωση ενέργειας \rightarrow επιβράδυνση της ψύξης.



White dwarf cooling sequence and crystallisation. Credit: Courtesy of Pier-Emmanuel Tremblay et al. (2018)